

## ОПРЕДЕЛЕНИЕ ОПТИЧЕСКОЙ ТОЛЩИНЫ НЕОДНОРОДНОЙ ПЛАЗМЫ ПО ДИСПЕРСИОННЫМ «КРЫЛЬЯМ» САМООБРАЩЕННЫХ ЛИНИЙ

Л. А. Луизова

Описан способ обработки экспериментальных данных, полученных при наблюдении контура самообращенной линии, зарегистрированного при наличии и отсутствии зеркала за разрядной трубкой, позволяющий найти оптическую толщину плазмы и радиальное распределение концентрации поглощающих атомов без использования данных о значениях коэффициента отражения зеркала.

Как известно, при работе по методу «самопросвечивания» для определения оптической толщины плазмы надо использовать отсчет регистрирующей системы  $F'(\lambda, x)$  при открытом зеркале за разрядной трубкой и отсчет  $F(\lambda, x)$  при закрытом зеркале [1]. Тогда

$$M(\lambda, x) = \frac{F'(\lambda, x) - F(\lambda, x)}{F(\lambda, x)} = R(x) e^{-\tau(\lambda, x)}. \quad (1)$$

Здесь  $R(x)$  — эффективный коэффициент отражения зеркала;  $\lambda$  указывает на то, что измерения проводятся на определенной длине волны внутри контура линии, т. е. пренебрегаем влиянием аппаратного контура регистрирующей системы;  $x$  указывает на то, что измерения проводятся при определенном положении исследуемого источника относительно регистрирующей системы. В дальнейшем речь пойдет об аксиально-симметричной неоднородной плазме, поэтому под  $x$  будем понимать расстояние от оси источника до хорды, вдоль которой осуществляется просвечивание плазмы собственным излучением [2]. Определение  $\tau(\lambda, x)$  из соотношения (1) возможно лишь при известном значении  $R(x)$ . Однако в реальных экспериментах с плазмой, ограниченной стенками, пропускание которых часто зависит от срока службы источника и даже от режима его работы (вследствие конденсации на стенках различных компонентов наполнения), независимое определение  $R(x)$  невозможно. Ниже излагается способ определения  $\tau(\lambda, x)$ , не требующий предварительного измерения  $R(x)$ . В основе предлагаемого алгоритма лежит предположение о дисперсионной форме контуров линий поглощения. В ходе решения задачи справедливость этого предположения проверяется. Если выполняется соотношение

$$k(\lambda, y) = \frac{K_0(y) a(y)}{\pi\{(\lambda - \lambda_0)^2 + [a(y)]^2\}}, \quad (2)$$

где  $k(\lambda, y)$  — коэффициент поглощения плазмы в точке, отстоящей от оси источника на расстоянии  $r = \sqrt{x^2 + y^2}$ ,

$$K_0(y) = \int k(\lambda, y) d\lambda, \quad (3)$$



$a(y)$  — ширина линии поглощения, и, кроме того, все  $\lambda$  таковы, что  $|\lambda_0 - \lambda_0| \gg a$ , то

$$\tau(\lambda_i, x_j) = 2 \int_0^{\sqrt{r_0^2 - x_j^2}} \frac{K_0(y) a(y) dy}{\pi(\lambda_0 - \lambda_i)^2}, \quad (4)$$

где  $r_0$  — радиус границы плазмы.

Соотношение (4) можно записать в виде

$$\tau(\lambda_i, x_j) = \frac{1}{(\lambda_i - \lambda_0)^2} \varphi(x_j) \quad (5)$$

Откуда

$$-\ln M(\lambda_i, x_j) = -\ln R(x_j) + z\varphi(x_j), \quad (6)$$

где

$$\left. \begin{aligned} z &= \frac{1}{(\lambda_i - \lambda_0)^2}; \\ \varphi(x_j) &= \frac{2}{\pi} \int_0^{\sqrt{r_0^2 - x_j^2}} K_0(y) a(y) dy. \end{aligned} \right\} \quad (7)$$

Таким образом, есть основания искать зависимость экспериментальной величины  $-\ln M(\lambda_i, x_j)$  в виде полинома первой степени относительно  $z$ . При этом из коэффициентов при нулевой степени  $z$  мы получаем значения коэффициентов отражения зеркала.

Второе слагаемое в (6) дает значение  $\tau(\lambda_i, x_j)$  для конкретного значения  $\lambda_i$ . Коэффициенты  $\varphi(x_j)$ , определенные для нескольких «положений»  $x_j$  дают возможность найти радиальное распределение поглощающих атомов путем решения уравнения

$$\varphi(x_j) = 2 \int_0^{\sqrt{r_0^2 - x_j^2}} K_0(y) a(y) dy. \quad (8)$$

Мы использовали для решения (8) описанный в работе [3] метод статистической регуляризации с матрицей регуляризации, ограничивающей норму второй производной и параметром регуляризации, обеспечивающим «наиболее гладкое допустимое решение». Концентрация поглощающих атомов  $N(r)$  находится с помощью функции  $P(r) = K_0(r) a(r)$ , являющейся

Рис. 1. Результат восстановления распределений  $K_0(r) a(r)$  (1) и  $R(x)$  (2) в «модельном» эксперименте.

решением (8), с использованием известной связи  $N(r)$  и  $K_0(r)$  [1]

$$N(r) = \frac{P(r)}{a(r)} \frac{m_0 c^2}{\lambda^2 f \pi e^2}, \quad (9)$$

где  $m_0, e$  — масса и заряд электрона,  $f$  — сила осциллятора для данной линии,  $c$  — скорость света.

На рис. 1 представлен результат определения радиального распределения коэффициентов поглощения и коэффициента отражения (кривые 1 и 2) в «модельном эксперименте». Сплошные кривые — заданные распределения. Заштрихован «коридор ошибок» определения величин по



описанному выше алгоритму при условии, что погрешность величины  $M(\lambda, x)$  составляет 3%.

При определении коэффициентов модели (6) используется алгоритм «ортогональных полиномов» [4]. Это означает, что степень полинома подбирается «автоматически» такой, чтобы дисперсия адекватности модели соответствовала (по критерию Фишера [5]) дисперсии воспроизводимости. Поэтому если в пределах точности эксперимента может быть обнаружено отклонение распределения от вида (6), то это проявится в появлении полиномов более высоких степеней, чем первая. При обработке результатов «реального» эксперимента (изучение резонансных линий добавок в металлогалоидных лампах) получен следующий результат.

Модель (6) оказывается справедливой для линий Na 5889 Å и Tl 5350 Å и несправедливой для линии Tl 3776 Å, вблизи крыльев которой заметны молекулярные полосы, как в излучении, так и в поглощении. На рис. 2 в качестве примера приводится результат обработки данных «реального» эксперимента. Ошибка  $(1+M)$  — около 5%. Измерения выполнены для пяти положений  $x_j$ . Кривая 1 — радиальный ход заселенности уровня Tl  $6^2P_{3/2}$ , кривая 2 — ход заселенности уровня  $3^2S_{1/2}$  в относительных единицах. Абсолютные значения заселенностей на уровне Na  $3^2S_{1/2}$ :  $N(r) = n7 \cdot 10^{14} \text{ см}^{-3}$ , на уровне Tl  $6^2P_{3/2}$ :  $N(r) = n3 \cdot 10^{14} \text{ см}^{-3}$ . Необходимые для расчета значения  $a(r)$  приняты на основании работы [6] не зависящими от  $r$  и оценены с использованием константы вандерваальсовского уширения, вычисленной в одноэлектронном кулоновском приближении.

Кривая 3 на рис. 2 — ход  $R(x)$ . [В пределах погрешности значения  $R(x)$ , определенные по двум линиям, совпадают].

Отметим, что наличие равномерного поглощающего фона приведет к погрешности в определении  $R(x)$ , но не  $\varphi(x)$  для линии дисперсионной формы. Поэтому алгоритм определения  $N(r)$  по-прежнему применим.

#### Литература

- [1] С. Э. Фриш. Сб. «Спектроскопия газоразрядной плазмы». Изд. «Наука», Л., 1970.
- [2] С. И. Крылова, Л. А. Луизова, А. Д. Хахаев. Опт. и спектр., 37, 559, 1974.
- [3] В. Ф. Турчин, В. П. Козлов, М. С. Малкевич. Усп. физ. наук, 102, в. 3, 1970.
- [4] G. E. Forsythe. J. Soc. Ind. Appl. Math., 5, № 2, 1957.
- [5] Д. Худсон. Статистика для физиков. Изд. «Мир», М., 1970.
- [6] Л. А. Кирпичникова, С. И. Крылова, Л. А. Луизова, И. М. Некрылова, В. А. Соляникова, А. Д. Хахаев. Опт. и спектр., 35, 809, 1973.

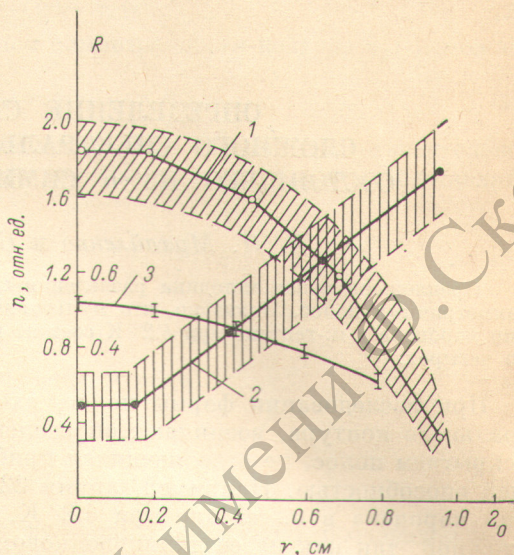


Рис. 2. Распределение атомов  $\text{Na } 3^2S_{1/2}$  (2),  $\text{Te } 6^2P_{3/2}$  (1) по радиусу в металлогалоидной лампе и эффективный коэффициент отражения зеркала —  $R(x)$  (3).